2016年熊本地震の強震動と震源過程

青井 真 あおい しん

国立研究開発法人 防災科学技術研究所 地震津波火山ネットワークセンター長

これらの地震ではそれぞれ、日奈久断層帯(高野一白旗区間)、布田川断層帯(布田川区間)が主に破壊したと考えられている。政府機関である地震調査研究推進本部が全国の活断層を対象に行っている地震発生可能性の長期評価では、両断層帯では事前に M7 程度の地震発生が予測されており、それをもとにした地震ハザード評価では震度 6 強以上の発生が想定されていた²。

 M_i 7.3 のイベントの発生に伴い、 M_i 6.5 のイベントを前震とする考えかたもあるが、本稿では、別の断層帯で発生した地震であることからそれぞれ、 M_i 6.5 イベント、 M_i 7.3 イベントと呼ぶことにする。

Strong motion and source processes of the 2016 Kumamoto earthquake sequence

Shin AOI

強震動の特徴

これらのイベントでは共に防災科学技術研究所 の KiK-net 益城(KMMH16)で 1000 gal(gal は cm/s/s)を 大きく超える最大加速度が記録されたが3,4, 地震 規模の違いにより、M₁7.3 イベントにおける強震 動の大きな領域の広がりは M: 6.5 イベントに比 べ格段に大きい(図1)。K-NET, KiK-net, 自治体震 度計で得られた両イベントの最大加速度(PGA)お よび最大速度(PGV)は距離減衰式5とおおむね整合 しており、大局的には内陸地殻内地震における M₁6.5 および M₁7.3 の浅い強震動としては標準 的なものであったといえる。M₁7.3 イベントにお ける大分県のいくつかの観測点ではMi7.3イベ ントに誘発されたイベントによる強震動が. 見か け上距離減衰式から大きく外れている。このほか. 式の適用限界を外れる震源距離 200 km 程度より 遠方では主に PGV の減衰が緩やかになっている が. これは主に卓越周期が10秒程度のLove波 によるものであると考えられる⁴(図2)。特に*M*₁ 7.3 イベントによる建物被害が甚大であった益城 町役場では熊本県自治体震度計で波形記録が得ら れており、疑似速度応答スペクトル(5%減衰)にみ られる周期1~2秒のピークは、過去の代表的な 被災地における記録である JR 鷹取(1995 年兵庫県南 部地震)や新潟県自治体震度計川口町(2004年新潟県中 越地震)のレベルを包含するきわめて大きなもので あった(図3)。また、 益城町役場の北東約640 m に位置する KiK-net 益城でも、震度計に比べると レベルが低いものの周期1秒にピークを持つ大 きな強震動が観測された。低層の木造建築物に被

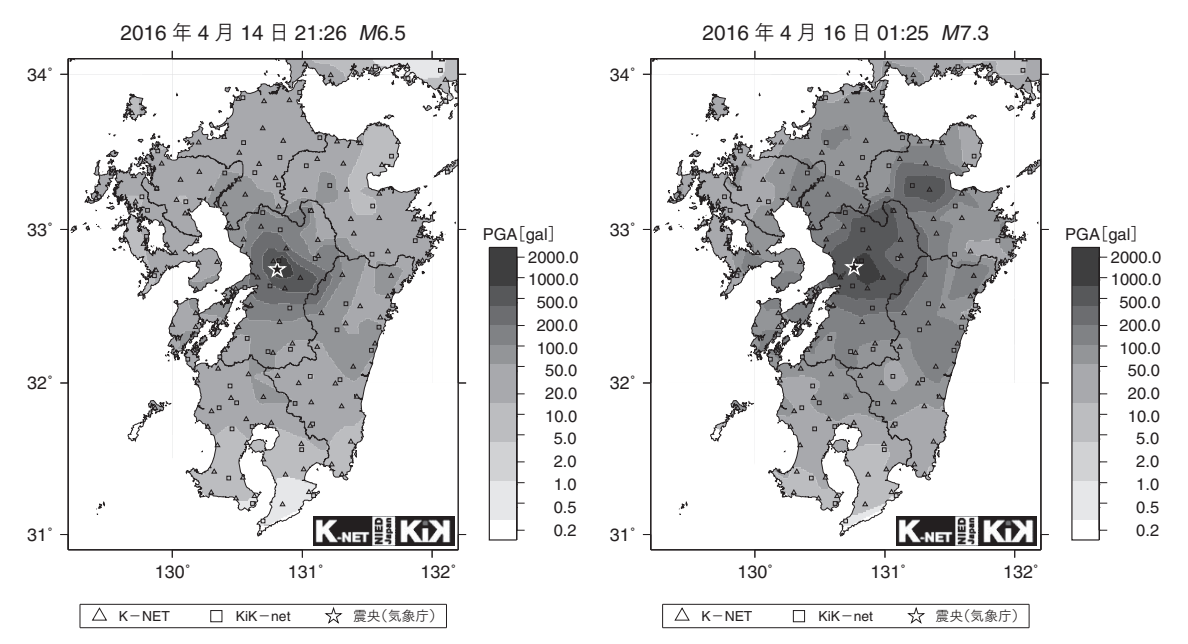


図 1—平成 28 年(2016 年) 熊本地震の M_1 6.5 イベント(左) および M_1 7.3 イベント(右) で観測された地表最大加速度の分布 913 ページのカラー版も参照。

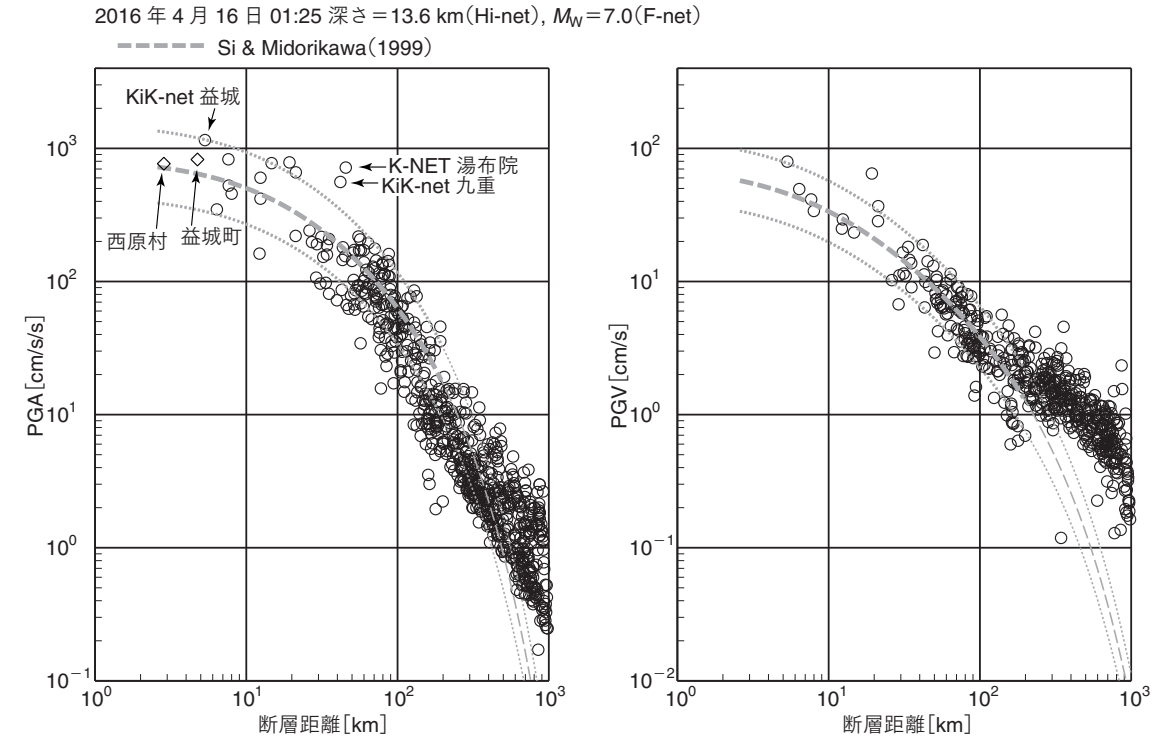


図 2―平成 28 年(2016 年)熊本地震(M₁7.3 イベント)の最大加速度および最大速度の観測値と距離減衰式⁵の比較 左図は地表における最大加速度、右図は S 波速度が 600 m/s の工学的基盤相当に変換した最大速度。ここでの最大加速度、最大速度 はいずれも水平動二成分のうちの大きいほうの値を用いている。

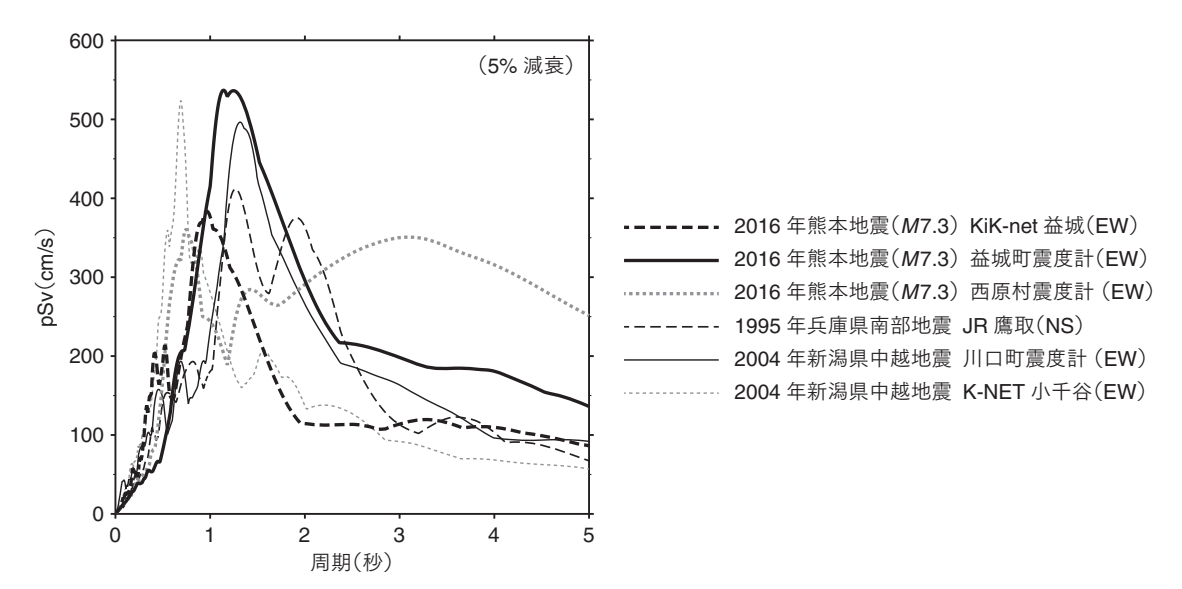


図 3—平成 28 年(2016年)熊本地震 $(M_17.3$ イベント)および日本で起きた顕著な地震で記録された強震記録による疑似速度応答スペクトル(5% 滅衰)

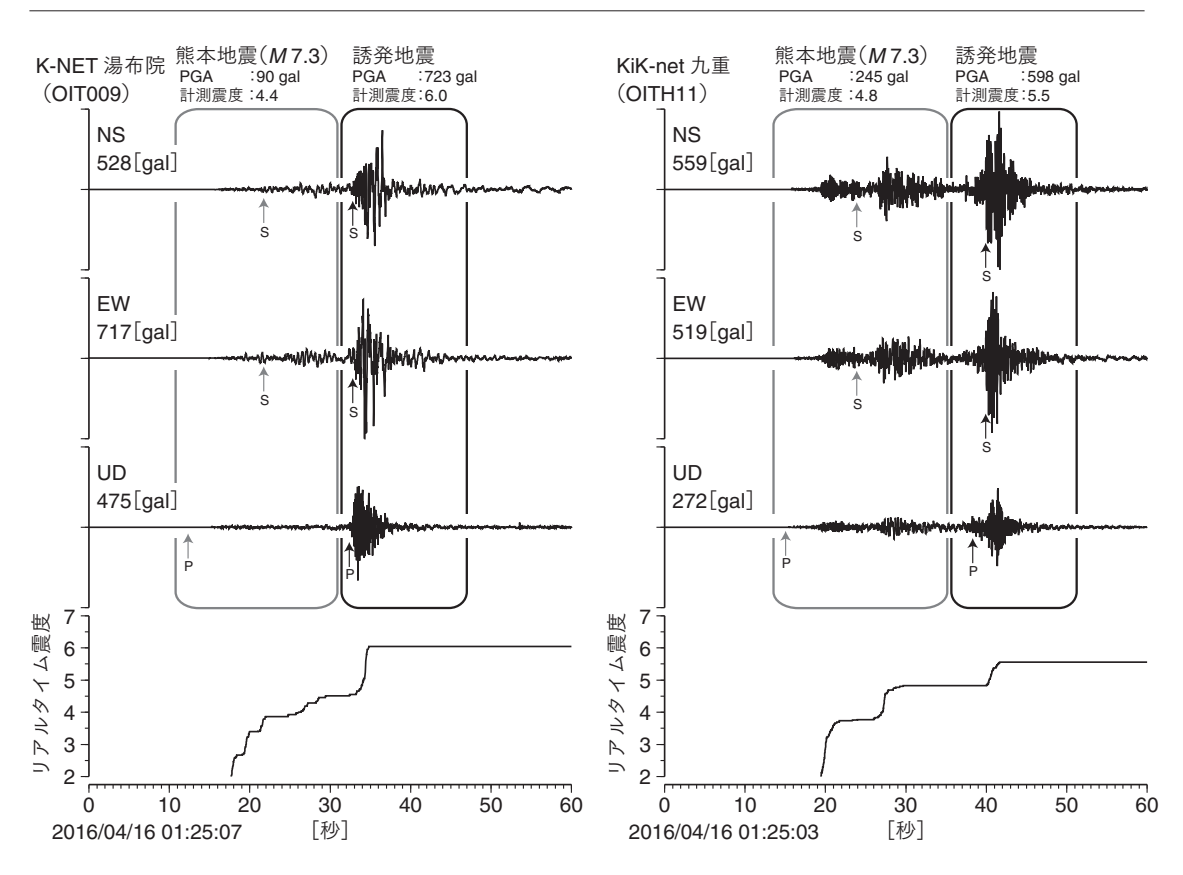


図 4—K-NET 湯布院(OIT009,左) および KiK-net 九重(OITH11,右) における M_1 7.3 イベントおよびそれに伴う誘発地震の強震波形記録とリアルタイム震度 g

0909

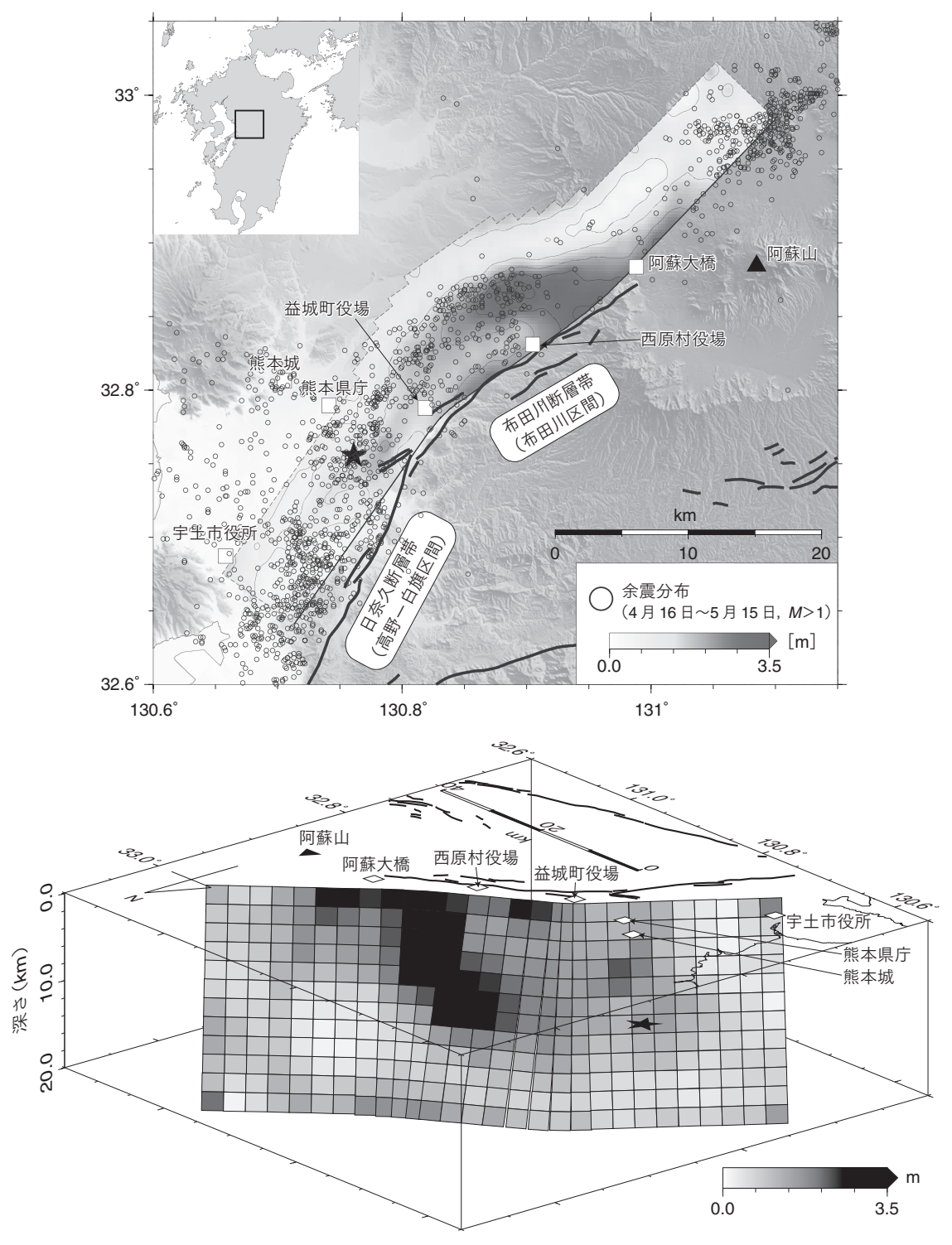


図 5―平成 28 年(2016 年)熊本地震(M_i 7.3 イベント)のすべり分布の地表投影(上)および斜視図(下:方位角 310°, 仰角 20°) 星印は破壊開始点を、黒線は活断層トレースを、四角は主要なランドマークを示す。914ページのカラー版も参照。

害を及ぼす 1~2 秒の周期帯の大きな強震動に加え、二度にわたる震度 7 の揺れが起こったことが益城町における大きな被害につながったと考えられる。

また M_i 7.3 イベントにおける西原村の熊本県自治体震度計の記録(震度7)の疑似速度応答スペクトル(5%減衰) は周期 3~4 秒が卓越しており、約350 cm/s のピークをもっていた。幸い西原村ではこのような長周期地震動に応答する固有周期の長い建築物はほとんどなかったが、中高層建物が多数存在する首都圏をはじめとする大都市が同様の地震動におそわれると大きな被害が生じる懸念がある。

さらに大分県湯布院近傍で M_i 7.3イベントに誘発されたイベントによる強震動が記録され、震源からの距離が極めて近いことから、大分のいくつかの観測点では M_i 7.3イベントによる直接の

強震動に比べ大きい、ないし同等であった。 M_j 7.3 イベントの強震動が北東方向に大きく広がっているのはこの誘発地震の影響である(図1)。例えば、K-NET 湯布院(OIT009)では、 M_j 7.3 イベントによる PGA が 90 gal、計測震度が 4.4(震度 4)であったが、誘発地震による強震動は 723 gal、計測震度 6.0(震度 6 4)であり、誘発地震による強震動のほうが遥かに大きかった(図4)。8-P 時間が約1 秒程度であることから誘発地震は 8-NET 湯布院の極めて近傍で発生しており、この観測点を震源と仮定してペーストアップを作成すると、九州の比較的広い範囲でほぼ直線的に誘発されたイベントによる波群が見られ、距離減衰による検討により、地震の規模であるマグニチュードは 8-5.5 程度と推定される。

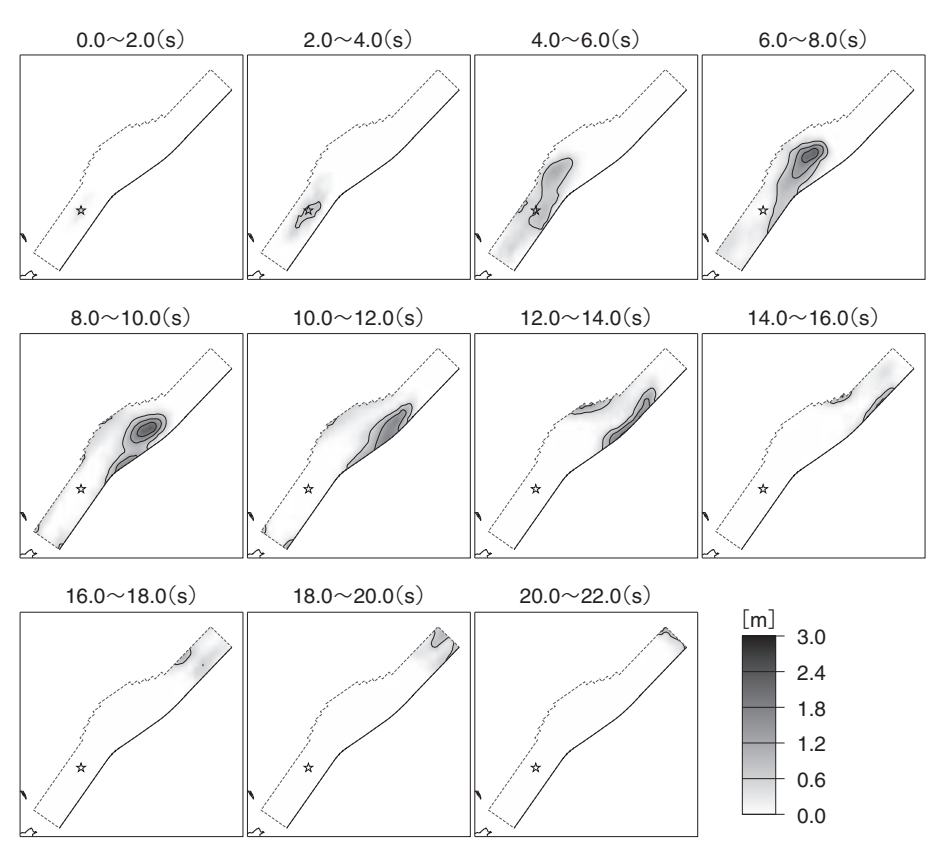


図 6-平成 28 年(2016 年)熊本地震(M₁7.3 イベント)の破壊の時間進展過程 各図は破壊開始から 2 秒ごとのすべり分布を示しており、星印は破壊開始点を表す。913 頁のカラー版も参照。

震源過程

地震は断層がずれ動く断層破壊によりエネルギ ーが放出される現象であるが、 断層面全体が均質 に破壊するわけではない。M₁7.3 イベントに関し て、震源から 100 km 程度以内の 27 地点で観測 された近地強震波形を用いて、震源過程の推定を 行った6。ここでは、マルチタイムウィンドウ線 型波形インバージョン法にもとづき断層破壊渦程 を時空間的に離散化し、各小断層からの要素波形 (グリーン関数)の重みの線形方程式を解くことで求 める。この手法では、空間の離散化にあたりあら かじめ断層面を設定する必要があるが、これはあ くまですべりが許される空間的な候補点であり. 設定した断層面全体がエネルギーを放出すること を意味するわけではない。逆に、設定していない 箇所からはエネルギーは放出されない。ここでは. 地震後の余震活動分布および地表地震断層の分布. InSAR(衛星干渉合成開口レーダ)や GNSS(全球測位衛星シ ステム)で捉えられた地震前後の静的地表変位^{7,8}を 参考に、上端長さ約53km、幅24kmの曲面か らなる断層面(上端深さ約1km)を設定し、長さ方 向・深さ方向にそれぞれ 28 個および 12 個の小 断層(約2km×2km)に分割した。震源過程解析の結 果、2.4 m を超える比較的大きなすべりの領域は 震央の北東約 10 km から約 30 km の深さ約 15 km 以浅の領域に広がり、その北東端は阿蘇山付 近にまで及んでいることがわかった(図5)。最大 すべり 3.8 m のこの大きなすべり領域は、破壊開 始4秒から16秒までにおいて、北東の浅い側に 向かって進展した主たる断層破壊によって生じた (図6)。また、破壊開始2秒以降に破壊開始点か ら地表の方向へと進み、その後地表に沿って北東 方向に進展していった断層破壊も見られた。推定 された浅い領域の大きなすべりの位置は、 地表踏 査で確認された地表地震断層と整合的である。

2016年熊本地震は、事前に想定された活断層 で発生した地震であり、震源近傍で震度7を含 む多くの強震動が記録され、詳細な断層のすべり 分布が提示された。これらは 1995 年兵庫県南部 地震以降、取り組んできた施策や観測網の効果で あるとともに、今後の地震災害軽減の方向性を検 討する糧となる。また、内陸地殻内地震に誘発さ れた地震によって大きな地震動が生じることも記 録として確認された。顕著な被害のあった益城町 における震度7の連発や、西原村における比較 的周期の長い震度7の強震記録などは、M7クラ スの内陸地殻内地震での従来の経験を超えており、 今後の強震観測や強震動予測。防災対策など行う 上で十分に検討していくことが期待される。

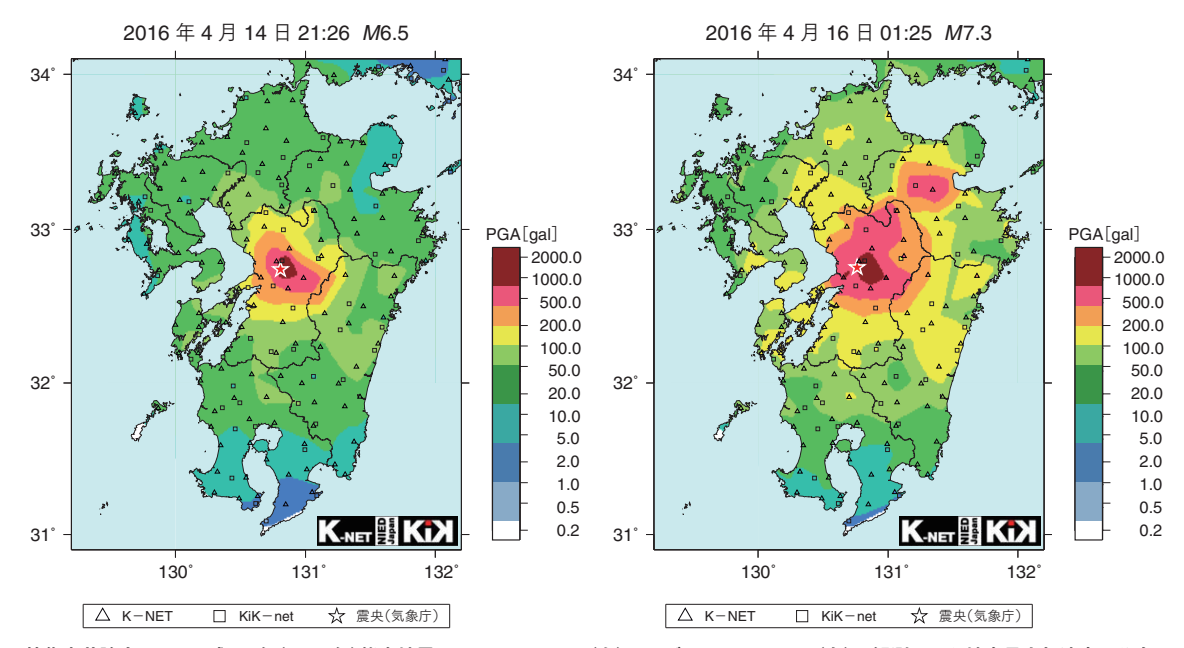
謝辞 新潟県,熊本県,JRのデータを使用させていただ きました。記して感謝いたします。

文献

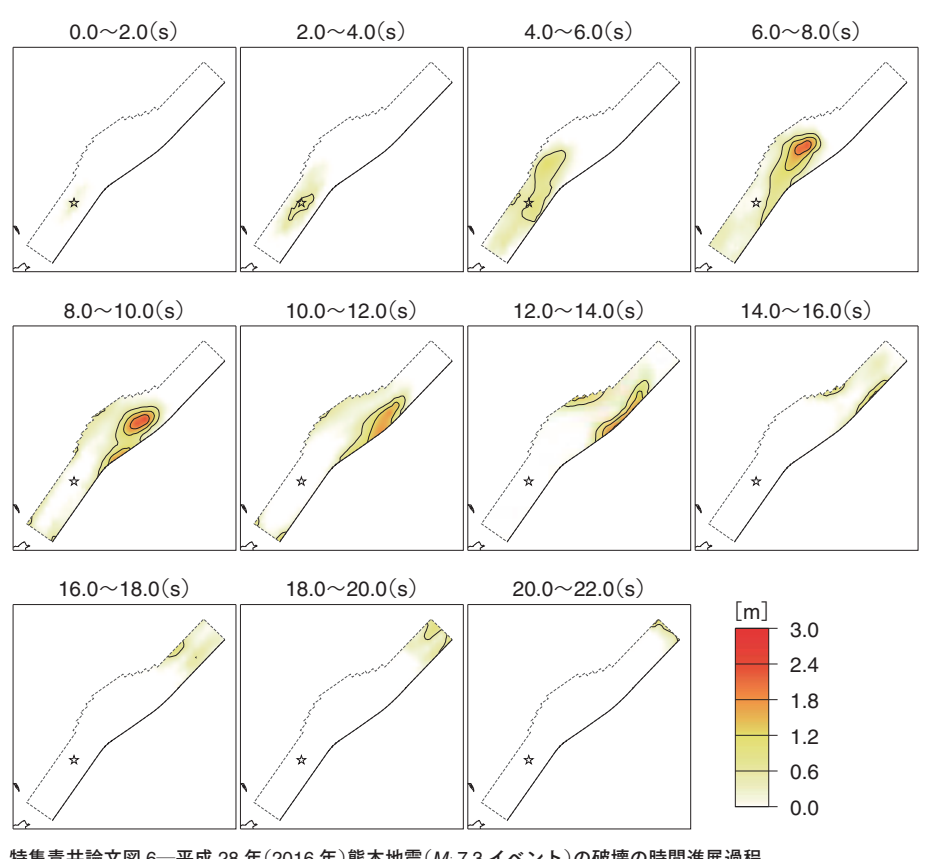
- 1-消防庁災害対策本部: 熊本県熊本地方を震源とする地震(第 68報)(2016)
- 2-地震調査研究推進本部地震調査委員会: 布田川断層帯・日奈 久断層帯の評価(一部改訂)(2013)
- 3—S. Aoi et al.: Proceedings of ESG5(2016)
- 4-W. Suzuki et al.: Earth Planets Space, submitted(2016)
- 5-司宏俊・翠川三郎: 日本建築学会構造系論文集, 523, 63-70 (1999)
- 6-H. Kubo et al.: Earth Planets Space, submitted (2016)
- 7-T. Ozawa et al.: Earth Planets Space, submitted(2016)
- 8-矢来博司・他: 日本地球惑星科学連合 2016 年大会, MIS34-03(2016)
- 9-功刀卓・他: 地震第2輯, 65, 223-230(2008)

青井 真 あおい しん

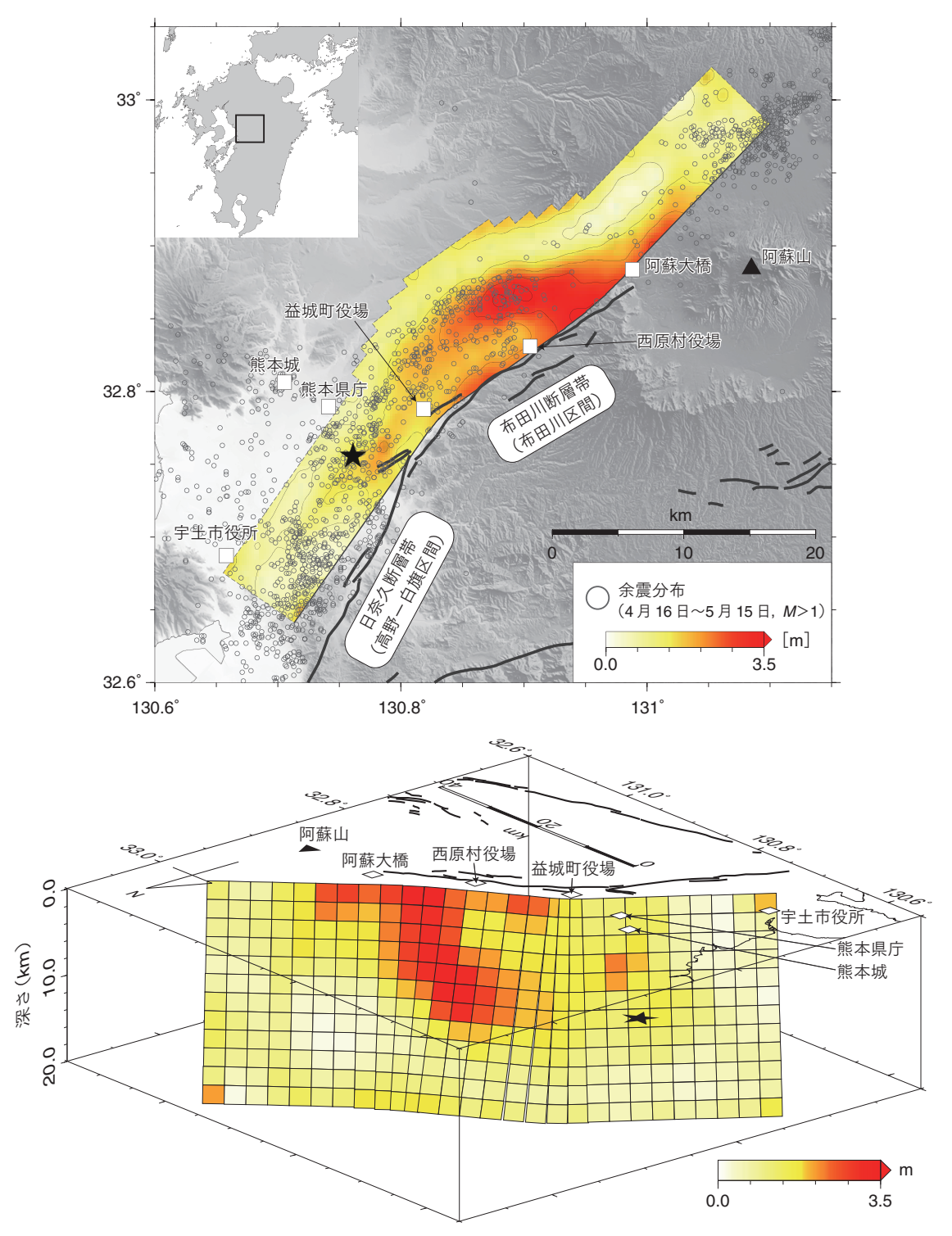
国立研究開発法人 防災科学技術研究所 地震津波火山ネットワ ークセンター長。SIP(戦略的イノベーション創造プログラム) 「レジリエントな防災・減災機能の強化」津波予測技術の研究 開発の研究責任者。1996年京都大学大学院理学研究科地球物 理学専攻博士後期課程修了。専門は強震動地震学。全国に設置 した 2000 地点余りからなる陸域及び海域における地震観測網 の運用及びそこから得られる観測データを用いた地震や津波の 研究を行っている。また、スーパーコンピュータを用いた大規 模な波動伝播シミュレーションモデルの開発及びハザードマッ プの作成に関する研究を行っている。



特集青井論文図 1—平成 28 年(2016 年)熊本地震の M₁6.5 イベント(左)および M₁7.3 イベント(右)で観測された地表最大加速度の分布



特集青井論文図 6—平成 28 年(2016 年)熊本地震(M,7.3 イベント)の破壊の時間進展過程 各図は破壊開始から 2 秒ごとのすべり分布を示しており、星印は破壊開始点を表す。



特集青井論文図 5―平成 28 年(2016 年)熊本地震(M₁7.3 イベント)のすべり分布の地表投影(上)および斜視図(下:方位角 310°,仰角

星印は破壊開始点を、黒線は活断層トレースを、四角は主要なランドマークを示す。